

# مدل بهینه‌سازی طراحی سازه‌های کنترل شیب جهت پایداری رودخانه‌ها

سعیده آدینه (کارشناس ارشد)

محمد رضا مجذزار طباطبائی \* (استادیار)

سعید علیم‌حمدی (استادیار)

حسین قریشی (استادیار)

دانشکده‌ی مهندسی عمران، آب و محیط زیست، دانشگاه شهید بهشتی

مهمشی عمان شرف، (پاییز ۱۳۹۷) دوری ۲ - ۳، شماره ۱ / ۲، ص. ۱۳۳-۱۴۰، (پایداشت فصل)

سازه‌های کنترل شیب با هدف کاهش شیب بستر و جلوگیری از فرسایش آن ساخته می‌شوند و با عملکرد افزایش مقاومت بستر در مقابل تنفس برشی جریان، باعث تثبیت بستر می‌شوند. در پژوهش حاضر، مدل بهینه‌سازی یک نوع از سازه‌های کنترل به نام کف‌بند که در عرض بستر رودخانه و هم‌سطح کف بستر ساخته می‌شود و بستر آبراهه را از فرسایش حفاظت می‌کند، ارائه شده است. در این رابطه، مدل بهینه‌سازی به صورت ترکیبی از دو زیرمدل هیدرولیکی و سازه‌یی با اهداف کمینه‌سازی هزینه‌ی ساخت و بیشینه‌سازی پایداری کف‌بند مطرح شده است. مدل مذکور با توجه به مشخصات رودخانه‌ی دوغ، کالیره و ابعاد و هزینه‌یی بهینه‌ی کف‌بند تعیین شد. در مرحله‌ی بعد، مدل نسبت به متغیرهای ورودی شیب طولی و دبی جریان حساسیت‌سنجی شد تا نقش تغییر پارامترهای مذکور در تأثیر خروجی‌های مدل مطالعه شود. در این راستا، منطقی بودن نتایج حاصل از حساسیت‌سنجی، نیز صحبت‌سنجی شد.

adineh\_sc@yahoo.com  
m\_majdzadeh@sbu.ac.ir  
s.alimohammadi@sbu.ac.ir  
h\_ghoreishi@sbu.ac.ir

واژگان کلیدی: سازه‌های کنترل شیب، هزینه، بهینه‌سازی چندهدفه، پایداری کف‌بند، پایداری رودخانه.

## ۱. مقدمه

حاضر، به منظور فراهم آوردن اهداف ذکر شده، از روش بهینه‌سازی استفاده شده است. مطالعات انجام شده پرامون موضوع مورد پژوهش در ۳ بخش: بهینه‌سازی، کف‌بندها و سازه‌های کنترل شیب در ادامه بررسی شده است. در بخش بهینه‌سازی، در پژوهشی در سال ۲۰۱۳، مدل بهینه‌سازی آب‌شکن با استفاده از لینگو<sup>۵</sup> ارائه شد که متشکل از ۳ زیرمدل: ریخت شناسی، طراحی و بهینه‌سازی بود و برای مطالعه‌ی پایداری رودخانه از زیرمدل ریخت شناسی استفاده شده بود که در آن ابعاد مقطع پایدار با استفاده از تئوری بیشینه‌ی ظرفیت انتقال رسوب محاسبه شده و سپس با بهکارگیری ضوابط طراحی مناسب برای اجزاء آب‌شکن، از قبیل: طول، ارتفاع، فاصله، تعداد و عمق آب‌شستگی آب‌شکن در زیرمدل طراحی، هزینه‌های ساخت کمینه به دست آمده است. نتایج حاصل از دو زیرمدل ریخت شناسی و طراحی در زیرمدل بهینه‌سازی، با استفاده از روش وزنده‌یی به صورت یک مدل بهینه‌سازی چندهدفه‌ی غیرخطی فرموله و بررسی شد، تا بدین ترتیب ابعاد بهینه‌ی آب‌شکن محاسبه شود.<sup>[۱]</sup> در سال ۱۹۹۹، نیز یک مدل بهینه‌ی طراحی کانال پایدار با یک سری از سازه‌های کنترل شیب و با هدف بهینه‌سازی ارائه شد و مدل بهینه‌ی مذکور با اعمال قیدهای پایداری کانال (که با استفاده از روش‌های بیشینه‌ی سرعت مجاز، تنفس برشی بحرانی و مقطع بهینه‌ی هیدرولیکی حاصل می‌شود)، عمق آب‌شستگی، ارتفاع سازه‌ها، و ضریب زبری مانینگ، با استفاده از نرم‌افزار

امروزه نبات رودخانه‌های فرسایشی بکی از چالش‌ها و مشکلات پیش روی مهندسان رودخانه است. ترازکاهی در رودخانه به پل‌ها، کالورت‌ها، خطوط انتقال پتروشیمی، برق، آب و دیگر زیرساخت‌ها آسیب می‌رساند.<sup>[۱]</sup> همچنین موجب پیشروی فرسایش به سمت بالادست و گستاخی بستر<sup>۱</sup> خواهد شد.<sup>[۱]</sup> از سوی دیگر، رسوبات فرسایش بافت، در پایین دست ته نشین می‌شود و منجر به کاهش شب متوسط بستر رودخانه، پیچان شدن<sup>۲</sup> رودخانه، کاهش ظرفیت انتقال جریان رودخانه و در نتیجه بروز سیلاب می‌شوند.<sup>[۲]</sup> رسوب‌گذاری در پایین دست، کیفیت آب را کاهش می‌دهد و در محیط زیست موجودات آبزی آثار نامطلوب می‌گذارد.<sup>[۲]</sup>

یکی از روش‌های تثبیت بستر رودخانه، احداث کف‌بندها<sup>۳</sup> (سازه‌های کنترل شیب<sup>۴</sup>) است. ساخت سازه‌های مذکور علاوه بر تثبیت بستر و ایجاد آبراهه‌ی پایدار (آبراهه‌ی بدون فرسایش و رسوب‌گذاری)، موجب پایداری سازه‌های موجود در رودخانه نیز می‌شود. از آنجا که عملکرد صحیح سازه‌های مذکور منوط به پایداری آن هاست، انجام تحلیل پایداری برای آن‌ها ضروری است. از طرفی لزوم اقتصادی بودن طرح نیز یکی از اهداف مهم در طرح‌های ساماندهی رودخانه است، بنابراین در پژوهش

\* نویسنده مسئول

تاریخ: دریافت ۱۰ اکتبر ۱۳۹۵، اصلاحیه ۱۶، ۱۳۹۵/۸/۱، پذیرش ۱۳۹۵/۹/۱۳

DOI:10.24200/J30.2018.1415

همچنین در سال ۱۹۹۰، تنوع زیستگاه‌های ایجاد شده در تعدادی از رودخانه‌ها در اثر ساخت سازه‌های کتترل شیب بررسی و نشان داده شد که در رودخانه‌های با جریان کم، تنوع زیستگاه‌ها در حوضچه‌ی آب‌شستگی افزایش می‌یابد.<sup>[۱۲]</sup> در سال ۱۹۸۷، نیز با مطالعه‌ی حوضچه‌های طبیعی و مصنوعی آب‌شستگی ایجاد شده در اثر ساخت سازه‌های کتترل شیب در شمال می‌سی‌بی نتیجه‌گیری شد که ساخت سازه‌های مذکور باعث افزایش زیستگاه‌هایی برای ماهی‌ها می‌شود.<sup>[۱۳]</sup> مطالعاتی روی آستانه‌های احداث شده (۱۹۷۹) نیز نشان داد که پس از احداث سازه‌های ذکر شده و با توجه به عملکردشان به عنوان سازه‌های تله‌انداز رسوب، تجمع شن بین آن‌ها منجر به بهبود تخریزی و افزایش قابل توجه ماهی‌ها می‌شود.<sup>[۱۴]</sup>

به طورکلی مطالعات انجام شده پیرامون کف‌بند‌ها، تخمین عمق آب‌شستگی موضعی در پنجه‌ی آن‌ها بوده است. نظری مطالعاتی که در سال ۱۹۹۹ انجام ویژتر نیز به آن اشاره شد، فقط به طراحی هیدرولیکی سازه‌های کتترل شیب پرداخته و پارامترهای هیدرولیکی از قبیل عمق آب‌شستگی در پنجه‌ی سازه‌ها و شیب تعادلی بستر رودخانه در طراحی لحاظ شده است.

در مطالعات ذکر شده، پایداری سازه فقط در پیش‌بینی عمق آب‌شستگی موضعی و در نتیجه ارتفاع کف‌بند بوده است. در صورتی که یکی از عوامل تأثیرگذار در پایداری کف‌بند، حصول اطمینان از پایداری آن در برابر لغزش و واژگونی است؛ بنابراین پیش‌بینی عرض سازه علاوه بر ارتفاع آن ضروری به نظر می‌رسد. از طرفی فاصله‌ی بین کف‌بند‌ها و ارتفاع آب‌شستگی از عرض سازه هم اثر می‌پذیرند از این رو لزوم طراحی سازه‌ی علاوه بر طراحی هیدرولیکی مشخص می‌شود. لذا هدف اصلی از پژوهش حاضر، طراحی کف‌بند با کمینه‌ی هزینه و بیشینه‌ی پایداری با اضافه کردن پارامتر عرض کف‌بند در طراحی و تأثیر پارامتر مذکور در فاصله و ارتفاع کف‌بند‌ها در یک بازه مشخص است.

## ۲. مبانی تئوری

در پژوهش حاضر، طراحی کف‌بندی که کمترین هزینه و بیشترین پایداری را داشته باشد، تحلیل و بررسی شده است. برای دست‌یابی به اهداف موردنظر، یک مدل بهینه‌سازی چند هدفه مطرح شده است که دو تابع هدف دارد: ۱. کمینه‌سازی هزینه‌ی احداث کف‌بند و ۲. بیشینه‌سازی پایداری کف‌بند احداث شده. برای کمینه‌سازی هزینه، زیرمدل هیدرولیکی و برای بیشینه‌سازی پایداری سازه، زیرمدل سازه‌ی ایجاد شده است. در زیرمدل هیدرولیکی، شیب تعادلی بستر رودخانه، عمق آب‌شستگی موضعی و کلی به دست می‌آید. از آنجاکه فاصله‌ی بین کف‌بند‌ها و عرض هر کف‌بند از پارامترهای تأثیرگذار در طراحی محاسبه می‌شوند، در این راستا در زیرمدل سازه‌ی با استفاده از محدوده‌ی پیش‌بینی شده برای ضرایب اطمینان و قیدهای تعریف شده، عرض و فاصله‌ی بین کف‌بند‌ها محاسبه و در مدل بهینه‌سازی، به ازاء شیب تعادلی بستر رودخانه و دبی مشخص، ابعاد بهینه‌ی کف‌بند به گونه‌ی حاصل شده است که بیشترین پایداری در برابر لغزش و واژگونی و کمترین هزینه‌ی احداث را داشته باشد. در شکل ۱، روند نمای مدل بهینه‌سازی کف‌بند نشان داده شده است.

### ۲.۱. زیرمدل هیدرولیکی

هدف از زیرمدل هیدرولیکی، کمینه‌سازی هزینه‌های ساخت کف‌بند است. در این رابطه، ابعاد کف‌بند با توجه به ضوابط طراحی هیدرولیکی کف‌بند به دست می‌آید،

GAMS-MINOS حل شد و هزینه‌ی سازه به میزان کمینه رسید. مدل مذکور با تعدادی از رودخانه‌ها در آریزونا صحبت‌سنجی شد که علاوه بر هزینه‌ی کمتر، کارکرد مناسب نیز داشت.<sup>[۱۵]</sup>

همچنین برخی پژوهشگران در بخش کف‌بند‌ها در سال ۲۰۱۲، عمق بیشینه‌ی آب‌شستگی در پایین دست کف‌بند را با استفاده از روش ماشین بردار شنتیان محاسبه کردند. برای انجام این کار، از ۲۲۶ داده‌ی آزمایشگاهی از پژوهشگران مختلف با شرایط هیدرولیکی و رسوی متفاوت استفاده شد و مقایسه‌ی نتایج محاسبات در مرحله‌ی آزمون نشان داد که روش ذکرشده نسبت به روابط رگرسیونی پژوهشگران پیشین، دقت و کارایی مناسب‌تری دارد.<sup>[۱۶]</sup>

در سال ۲۰۱۰، نیز اثر جریان سیل در بیشینه‌ی عمق آب‌شستگی در حالت آب بدون رسوی و در شیب طولی تند بررسی و برآسان تغییرات زمانی پارامترهای مهم، دو رابطه‌ی بدون بعد برای تخمین ابعاد حفره‌ی آب‌شستگی ارائه شد.<sup>[۱۷]</sup> همچنین در یک رساله‌ی دکتری (۲۰۰۸)، به بررسی آب‌شستگی موضعی در پنجه‌ی کف‌بند‌ها و در شرایط جریان حاوی رسوی و عاری از رسوی پرداخته و با بهکار بردن آنالیز ابعادی های مشاهده شده در تمام آزمایش‌ها، شامل بسترهای شیب کم و زیاد، ذرات یک‌نواخت و غیریک‌نواخت، جریان حاوی و عاری از رسوی، رابطه‌ی برای تخمین عمق آب‌شستگی موضعی ارائه شد.<sup>[۱۸]</sup>

برای اولین بار در سال ۲۰۰۳، نیز به بررسی فاصله‌ی بین کف‌بند‌ها پرداخته شد و مطالعات مذکور نشان داد که نزدیک بودن فاصله‌ی کف‌بند‌ها به یکدیگر سبب توسعه‌ی آب‌شستگی می‌شود و نتایج نشان داد که اگر نقطه‌ی فرسایش ناپذیر که موقعیت کف‌بند بعدی است، از یک فاصله‌ی بحرانی کمتر باشد، اندازه و شکل حفره‌ی آب‌شستگی تغییر می‌کند.<sup>[۱۹]</sup> همچنین در یک مطالعه‌ی آزمایشگاهی (۲۰۰۰) و در شرایط جریان عاری از رسوی و با بهکار بردن آنالیز ابعادی، رابطه‌ی برای تخمین عمق آب‌شستگی موضعی در پنجه‌ی کف‌بندها ارائه و تیجه‌گیری شد که عمق آب‌شستگی موضعی در پنجه‌ی کف‌بندها با افزایش ارتفاع کف‌بند، افزایش می‌یابد و با افزایش اندازه متوسط ذرات بسته، کاهش می‌یابد.<sup>[۲۰]</sup>

در مطالعه‌یی در سال ۲۰۱۲، نیز در بخش سازه‌های کتترل شیب، تأثیر نشت رو به بالا در میزان آب‌شستگی بستر پایین دست سازه‌های مذکور بررسی شد و با ساخت مدل فیزیکی سازه‌ی کتترل شیب و انجام آزمایش‌های متعدد، با استفاده از ۳ نوع اندازه‌ی رسوی بستر و برقاری ۳ مقدار دبی مختلف و تحت شرایط ۳ عمق مختلف پایاب، عمق حفره‌ی آب‌شستگی بدون منظور کردن نشت از بستر اندازه‌گیری شد. سپس با استفاده از داده‌های اندازه‌گیری شده، تعدادی از روابط موجود مقایسه و مناسب‌ترین آن‌ها معرفی شد. در سری دوم، آزمایش‌های مذکور با منظور کردن نشت از بستر (با تعداد ۵ دبی) تکرار شدند که هدف از آن‌ها، بررسی تأثیر نشت آب از بستر بود؛ که برای اولین بار در پایین دست جت‌های عمودی بررسی و در انتهای روابطی برای ابعاد حفره‌ی آب‌شستگی در شرایط نشت رو به بالا ارائه شد.<sup>[۲۱]</sup>

همچنین در سال ۲۰۱۱، کتترل شیب و تشییت بستر رودخانه‌ها به منظور احیای حوضه‌های آبریز مطالعه و ضمن معرفی سازه‌های کتترل شیب و مربای و معایب شان، مکان‌یابی و جانمایی سازه‌های ذکرشده بررسی شدند.<sup>[۲۲]</sup> برخی پژوهشگران (۲۰۱۰)، نیز فاصله‌ی بهینه‌ی سدهای اصلاحی را که نوعی از سازه‌های کتترل شیب هستند، بررسی کرden و به عملکرد نامناسب برخی سدهای اصلاحی در دامنه‌های شیرکوه که ناشی از مدفعون شدن سدهای ذکرشده است، پرداختند و درنهایت، رابطه‌ی مناسبی برای آبراهه‌های مشابه آبراهه‌های منطقه‌ی موردمطالعه، جهت بهینه بودن فاصله‌ی بین سدها ارائه دادند.<sup>[۲۳]</sup>

$$SI = \left( \frac{D_{\Delta t}}{D_{\Delta s}} + \frac{D_{\Delta s}}{D_{\Delta t}} \right) / 2 \quad (10)$$

$$h_b = FS * (y_d + y_s + y_g) \\ = 1,3 * (y_d + y_s + y_g) \quad (11)$$

S.T :

$$y_d \leq y_t \quad (12)$$

$$L - W_b \geq 15 * H_s \quad (13)$$

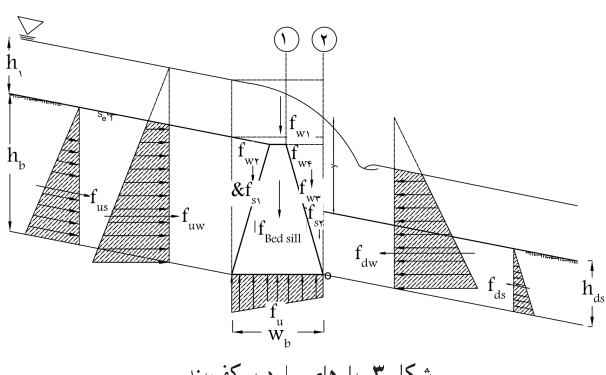
$$0,07 \leq \frac{y_d}{H_s} \leq 1,87 \quad (14)$$

که در آنها،  $n_s$  تعداد کف بند است (رابطه ۱). روابط ۲ الی ۴ به ترتیب محاسبه شیب تعادلی با استفاده از معادلات Meyer-peter, Muller و Schoklitsch, Shields می کنند که در آنها شیب تعادلی بر مبنای اندازه متوسط ذرات بستر بر حسب Meyer-peter, Muller و Shields می باشد. متر در روابط (۱) و (۲) در رابطه  $D_{\Delta t}$  و  $D_{\Delta s}$  می باشد. در روابط (۳) و (۴) در پروفیل طولی بسته شده در دبی طراحی واحد عرض رودخانه ( $q_f$ ) با استفاده از رابطه مانینگ را نشان می دهد که در آن  $n_s$  ضریب زبری مانینگ است. رابطه ۶، محاسبه عرض کف بند را نشان می دهد. روابط ۷ و ۸ به ترتیب اعماق آب شستگی کلی و موضعی را بیان می کنند. عمق آب شستگی کلی از رابطه  $S_e$  نیل<sup>۶</sup> (۱۹۷۳) و براساس دبی غالب واحد عرض ( $q_i$ )، دبی طراحی واحد عرض و عمق متوسط جریان محاسبه می شود.<sup>۱۸</sup> و عمق آب شستگی موضعی نیز از رابطه تکنالوژی<sup>۷</sup> (۲۰۰۸) و بر مبنای کمینه ای از ریز مخصوص بر حسب متر ( $H_s$ ) رابطه ۹، دبی طراحی واحد عرض رودخانه، شتاب نقل بر حسب متر بر مجدور ثانیه ( $g$ )، قطری از ذرات بستر که ۸۴٪ مصالح از آن کوچک ترند بر حسب متر ( $D_{\Delta t}$ )، شاخص جوششگی ذرات بستر ( $SI$ )، ارتفاع و فاصله بین کف بندها در هر  $D_{\Delta s}$ ، بازه بدهست می آید (رابطه ۱۰). ارتفاع کف بند در هر بازه با احتساب مجموع اعماق آب شستگی و ضریب اطمینان ( $FS$ )<sup>۱۹</sup> (۱,۳) توسط رابطه ۱۱ بیان می شود.

## ۲.۲. زیرمدل سازه هایی

به منظور بررسی پایداری کف بند احداث شده در رودخانه پس از رسیدن به شیب تعادلی زیرمدل سازه هایی مطرح می شود که هدف از آن محاسبه بارهای وارد بر کف بند و سپس تحلیل آن در مقابل لغزش و واژگونی است. شکل ۳، بارهای وارد بر کف بند را نشان می دهد.

که در آن، ( $f_{w1}$  الی  $f_{ws}$ ) نیروهای قائم ناشی از وزن آب، ( $f_{s1}$  الی  $f_{ss}$ )



## جدول ۱. بارهای وارد بر کف‌بند.

$f_{w\downarrow} = \gamma_w * h_\downarrow * w_b * w_c$	
$f_{w\uparrow} = {}^\circ/\delta * \gamma_w * w_c * h_b^\uparrow * \tan(x_b) * (1 + s_e * \tan(x_b))$	وزن آب
$f_{w\leftarrow} = {}^\circ/\delta * \gamma_w * w_c * h_b^\leftarrow * \tan(x_b)$	
$f_{w\rightarrow} = {}^\circ/\delta * \gamma_w * w_c * h_b * \tan(x_b) * s_e * (2 * w_b - h_b * \tan(x_b))$	
$f_{s\uparrow} = {}^\circ/\delta * \gamma_{sat} * w_c * y_s^\uparrow * \tan(x_b) * (1 - s_e * \tan(x_b))$	وزن خاک
$f_{s\leftarrow} = {}^\circ/\delta * \gamma_{sat} * w_c * h_b^\leftarrow * \tan(x_b) * (1 + s_e * \tan(x_b))$	
$(f_{ds})_v = {}^\circ/\delta * \gamma_{sub} * w_c * y_s^\uparrow * (1 - s_e * \tan(x_b))^\uparrow * k_p * \sin(\text{atan}(s_e))$	قائم مولفه‌های عمودی
$(f_{us})_v = {}^\circ/\delta * \gamma_{sub} * w_c * h_b^\uparrow * (1 + s_e * \tan(x_b))^\uparrow * k_a * \sin(\text{atan}(s_e))$	ذشار جانبی خاک
$f_{bedsill} = \gamma_{satg} * w_c * h_b * (w_b - h_b * \tan(x_b))$	وزن کف‌بند
$f_u = {}^\circ/\delta * \gamma_w * w_b * w_c * (h_b + y_s + h_\downarrow + y + h_b * s_e * \tan(x_b) - y_s * s_e * \tan(x_b))$	زیرفشار
$f_{dw} = {}^\circ/\delta * \gamma_w * w_c * (2 * (y - y_d - y_s * s_e * \tan(x_b) + h_b) * h_b * (\cos(a \tan(s_e)))^\uparrow$	
$f_{uw} = {}^\circ/\delta * \gamma_w * w_c * (2 * h_\downarrow + h_b * (1 + s_e * \tan(x_b)) * h_b$	ذشار جانبی آب
$* (1 + s_e * \tan(x_b)) * (\cos(a \tan(s_e)))^\uparrow$	
$(f_{ds})_h = {}^\circ/\delta * w_c * \gamma_{sub} * y_s^\uparrow * (1 - s_e * \tan(x_b))^\uparrow * k_p * \cos(a \tan(s_e))$	افقی مولفه‌های افقی ذشار
$(f_{us})_h = {}^\circ/\delta * w_c * \gamma_{sub} * h_b^\uparrow * (1 + s_e * \tan(x_b))^\uparrow * k_a * \cos(a \tan(s_e))$	افقی جانبی خاک
$h_b = 1/3 * (y_d + y_l + y_g)$	
$h_\downarrow = (\frac{q_f * n_s}{\sqrt{S_e}})^{1/8}$	
$h_{ds} = y_s = 1/3 * (y_g + y_l)$	توضیحات
$\gamma_{sat} = \gamma_s * (1 - n) + n * \gamma_w, \gamma_{satg} = \gamma_s * (1 - n_g) + n_g * \gamma_w, \gamma_{sub} = (\gamma_s - \gamma_w) * (1 - n)$	
$H_s = y + \frac{q_f}{r * q * y^\uparrow} - (y_d + y_s * s_e * \tan(x_b)) + h_b * s_e * \tan(x_b), H_s = 1/5 * (\frac{q_f}{q})^{1/3}$	

به دست می‌آید. ( $\gamma_{sub}$ ) وزن مخصوص مستغرق خاک، ( $\gamma_{satg}$ ) وزن مخصوص اشیاع کف‌بند گایبونی که براساس درجه‌ی پوکی گایبون (n<sub>g</sub>) و وزن مخصوص جامد خاک محاسبه می‌شود.

$$S_s = \frac{\tan \phi \Sigma f_v}{\Sigma f_h}$$

$$S_r = \frac{\Sigma m_r}{\Sigma m_o} \quad (15)$$

S.T. :

$$S_s \geq 1/3$$

$$S_r \geq 1/3 \quad (16)$$

مطابق رابطه‌ی ۱۵، پایداری در مقابل واژگونی ( $S_r$ ) هنگامی رخ می‌دهد که نسبت مجموع لنگرهای مقاوم ( $\Sigma m_r$ ) نسبت به پنجهای کف‌بند (نقطه‌ی o در شکل ۳)، ۱/۳ برابر مجموع لنگرهای واژگون‌کننده ( $\Sigma m_o$ ) نسبت به همان نقطه

نیروی قائم ناشی از وزن خاک در بالادست کف‌بند، ( $f_{s\downarrow}$ ) نیروی قائم ناشی از وزن خاک در پایین دست کف‌بند، ( $f_{bedsill}$ ) نیروی قائم ناشی از وزن کف‌بند، ( $f_u$ ) نیروی زیرفشار، ( $f_{uw}$ ) ذشار جانبی آب در بالادست کف‌بند، ( $f_{dw}$ ) ذشار جانبی آب در پایین دست کف‌بند، ( $f_{us}$ ) ذشار جانبی محرك خاک در

بالادست کف‌بند، ( $f_{ds}$ ) ذشار جانبی مقاوم خاک در پایین دست کف‌بند، ( $h_\downarrow$ ) ارتفاع آب در بالادست کف‌بند، ( $y$ ) ارتفاع آب در پایین دست کف‌بند و ( $h_{ds}$ ) ارتفاع خاک در پایین دست کف‌بند است. در زیرمدل مذکور، مصالح ساخت کف‌بند گایبونی، اشیاع و مصالح بستر رودخانه، غیرچسبنده و اشیاع فرض شده است.

بارهای وارد بر کف‌بند در جدول ۱ ارائه شده است. در جدول مذکور و  $k_p$  به ترتیب ضرایب ذشار جانبی مقاوم و محرك خاک هستند که با توجه به زاویه‌ی اصطکاک داخلی خاک ( $\phi$ ) و از جدول‌های مرتبط و با صرف‌نظر از چسبنده‌گی خاک به دست می‌آیند. ( $\gamma_w$ ) وزن مخصوص آب، ( $\gamma_{sat}$ ) وزن مخصوص اشیاع خاک که براساس درجه‌ی پوکی خاک (n) و وزن مخصوص جامد خاک ( $\gamma_s$ )

دسته از مسائل بهینه‌سازی چندهدفه در زمینه‌های مختلف استفاده شده است. از جمله معروف‌ترین و موفق‌ترین آن‌ها می‌توان روش‌های بهینه‌سازی چندهدفه مبتنی بر بهینه‌سازی پارتو<sup>۸</sup> را نام برد. در روش‌های مذکور یک مفهوم اساسی سبب شده است تا الگوریتم بتواند به پاسخ بهینه دست پیدا کند که مفهوم چیره‌بودن است و به این صورت بیان می‌شود: جواب  $x$  بر جواب  $y$  غالب است، هرگاه جواب  $x$  از دید هیچ‌یک از توابع هدف از جواب  $y$  بدتر نباشد و جواب  $x$  دستکم در یکی از توابع هدف از جواب  $y$  بهتر باشد.<sup>[۲۲]</sup> در مطالعه‌ی حاضر، با استفاده از مفهوم پارتو و ضرایب وزنی که به توابع هدف اختصاص می‌یابد، دو تابع هدف به یک تابع هدف تبدیل شده‌اند و با تغییر ضرایب وزنی و حل مسئله‌ی بهینه‌سازی، مجموعه جواب پارتو به دست آمده است.

باشد. همچنین پایداری در برابر لغزش ( $S_s$ ) هنگامی رخ می‌دهد که نسبت مجموع نیروهای قائم ( $\Sigma f_v$ ) در تأثیرات زاویه‌ی اصطکاک داخلی خاک به مجموع نیروهای افقی ( $\Sigma f_h$ ) بزرگ‌تر از  $1/3$  باشد.<sup>[۲۱]</sup>

### ۲.۳. مدل بهینه‌سازی

یکی از اهداف مطلوب در طراحی سازه‌ها، کمینه‌سازی هزینه‌ی احداث سازه است. در پژوهش حاضر، تابع هزینه با استفاده از ضوابط هیدرولیکی، که در بخش ۱.۲ به آن اشاره شد، و با ثابت فرض کردن ابعاد کف‌بند در طول آن ( $W_b = t_b$ ,  $x_b = ۰$ ) و با درنظر گرفتن فاصله بین کف‌بندها به عنوان متغیر طراحی در قالب رابطه‌ی  $17$  تعریف می‌شود:

$$Cost(x) = \sum_{i=1}^n n(UPRC)_b(V_i + m_{\alpha}V'_i + m_{\tau}V''_i) \quad (17)$$

که در آن،  $(UPRC)_b$  هزینه‌ی واحد حجم سازه،  $V_i$ ,  $V'_i$ ,  $V''_i$  به ترتیب حجم‌های سازه، خاک‌پرداری و خاک‌ریزی و  $m_{\alpha}$  ضرایب تبدیل هزینه‌ی خاک‌پرداری و خاک‌ریزی به هزینه‌ی احداث سازه هستند.<sup>[۲۲]</sup> علاوه بر کمینه‌سازی هزینه، بیشینه ساختن پایداری سازه تحت بارهای وارد بر آن نیز هدف دیگر طراحی است. به طوری که با تأمین هدف ذکر شده، هزینه‌های احتمالی ناشی از خرابی سازه به میزان کمینه می‌رسد. در پژوهش حاضر، تابع پایداری از تحلیل بارهای وارد بر کف‌بند که در بخش ۱.۲ محاسبه شد و با فرض کافی بودن ظرفیت باربری خاک مطابق رابطه‌ی  $18$  به دست می‌آید:

$$Stability(x) = \frac{\tan \phi \Sigma f_v}{\Sigma f_h} + \frac{\Sigma m_r}{\Sigma m_o} \quad (18)$$

لازم به ذکر است که در سازه‌های کنترل شیب، فاصله‌ی بین سازه‌ها و عرض سازه بیشترین اثر را در دیگر پارامترهای طراحی، نظیر: عمق آب‌شستگی، تعداد سازه‌ها، پایداری سازه در برابر واژگونی و لغزش و هزینه‌ی سازه دارند. از این رو در مطالعه‌ی حاضر، دو پارامتر عرض سازه و فاصله‌ی بین سازه‌ها به عنوان متغیرهای طراحی در نظر گرفته شده‌اند.

#### ۱.۳.۲. تابع هدف

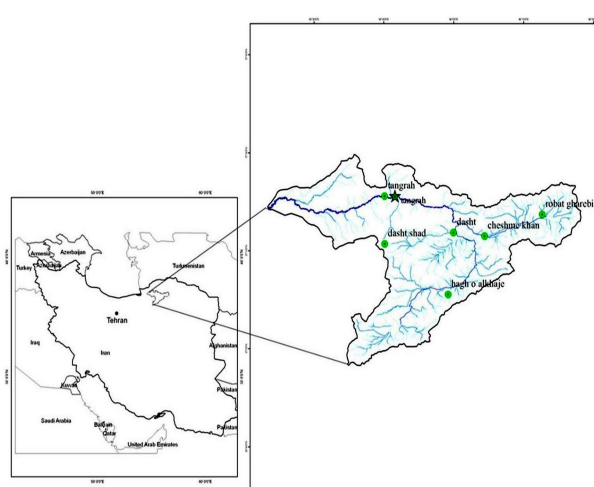
مدل بهینه‌سازی کف‌بند، مقادیر بهینه‌ی متغیرهای طراحی را جست‌وجو می‌کند، به گونه‌ی که بهترین خروجی را با توجه به اهداف خواسته شده (کمینه‌سازی هزینه احداث و بیشینه‌سازی پایداری کف‌بند) و قیدهای مسئله دارد. بنابراین با کتاب هم قرار گرفتن دو تابع به دست آمده از بخش ۱.۳.۲، تابع هدف بهینه‌سازی مطابق رابطه‌ی  $19$  بیان می‌شود:

$$\begin{aligned} & Minimze : \frac{W_{\alpha} * \sum_{i=1}^n n(UPRC)_b(m_{\alpha}V_i + m_{\tau}V'_i + m_{\tau}V''_i)}{Cost_{\max}} \\ & + W_{\beta} * (\frac{1}{(\frac{\tan \phi \Sigma f_v}{\Sigma f_h} + \frac{\Sigma m_r}{\Sigma m_o})}) \end{aligned}$$

S.T. :

$$\begin{aligned} & S_s \geq 1/3, S_r \geq 1/3, y_d \leq y_t, L - W_b \geq 10 * H_s, \\ & ۰,۰۷ \leq \frac{y_d}{H_s} \leq ۱,۸۷ \end{aligned} \quad (19)$$

که در آن،  $W_{\alpha}$  و  $W_{\beta}$  ضرایب وزنی اختصاص یافته به تابع هدف هستند و مجموع شان برابر  $۱$  است. در چند سال اخیر، الگوریتم‌های مختلفی برای حل این

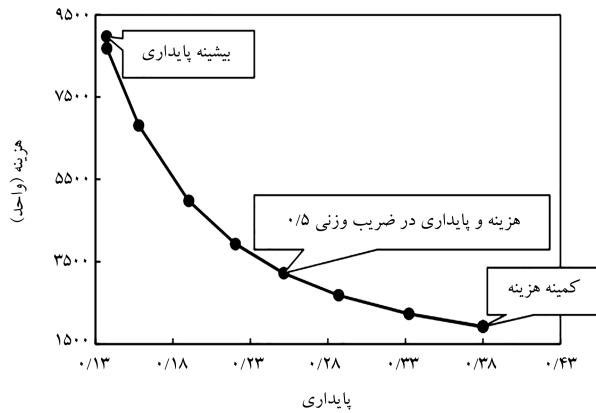


شکل ۴. موقعیت حوضه‌ی آبریز گرگان رود و رودخانه‌ی دوغ در آن.

**۱.۲.۳** بررسی اثر فاصله بین کف‌بندها در پایداری و هزینه‌ی احداث آن‌ها  
فاصله‌ی بهینه بین سازه‌ها در مدل با استفاده از رابطه‌ی  $20$  در حالتی که  $m$  برابر  $1$  است، بدست آمده است:

$$m \times L - W_b \geq 15 \times H_s \quad (20)$$

چنانچه ضریب  $m$  ضریب فاصله از  $5/0$  (بینهایه‌ی هزینه در ضریب وزنی  $5/0$ ) تا  $2/5$  (کمینه‌ی هزینه در ضریب وزنی  $5/0$ ) به مدل داده شود، ابعاد بهینه‌ی سازه مطابق جدول  $5$  حاصل می‌شود. مطابق شکل  $6$ ، با کاهش ضریب  $m$  از  $1/5$  تا  $1/20$ ، اگرچه تعداد سازه‌ها کاهش می‌یابد، اما به دلیل افزایش ارتفاع سازه، هزینه‌ی احداث آن افزایش و پایداری سازه کاهش می‌یابد و در نتیجه طرح غیراقتصادی می‌شود. از طرفی با افزایش ضریب  $m$  از  $1/5$  تا  $2/5$ ، فاصله‌ی بین سازه‌ها کاهش می‌یابد و با توجه به کاهش ارتفاع سازه، از عمق آب‌شستگی موضعی در پایین دست آن کاسته می‌شود. بنابراین پایداری سازه افزایش و هزینه‌ی احداث آن کاهش می‌یابد. در این حالت نیز شرایط مطلوب حاصل نمی‌شود، زیرا شرایط تعادلی آب‌شستگی موضعی در فاصله‌ی  $15$  برابر انرژی مخصوص بحرانی است، رخ می‌دهد و



شکل ۵. منحنی پارتوی حاصل از مدل برای رودخانه‌ی دوغ.

نامغلوب مدل بهینه‌سازی با تغییر ارزش وزنی ( $0$  تا  $1$ ) هر یک از توابع هدف مطابق جدول  $3$  بدست آمد.

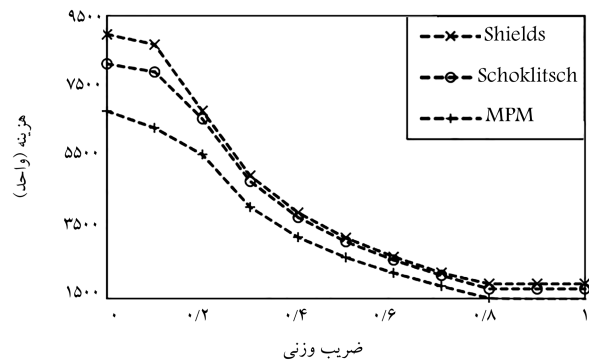
با رسم مقادیر دو تابع هدف (کمینه‌ی هزینه و بینهایه‌ی پایداری) در مقابل هم مجموعه جواب‌های نامغلوب (پارتو) به شکل نمودار  $5$  خواهد بود. پاسخ‌های بهینه به ازاء ضرایب وزنی  $1/0$  و  $5/0$  در شکل  $5$  نشان داده شده است که مطابق آن، هنگامی که هدف از طراحی احداث سازه با کمینه‌ی هزینه باشد، ضریب وزنی  $0$  در تابع پایداری منظور می‌شود و با اعمال ضریب وزنی  $0$  تا  $1$  و با توجه به ضریب سازه با بینهایه‌ی پایداری محقق می‌شود. در ضرایب وزنی  $0$  تا  $1$  و با توجه به ضریب وزنی اختصاص یافته به توابع هدف، هزینه و پایداری سازه به دست آید. ابعاد کف‌بندهای رودخانه دوغ و نتایج طراحی آن‌ها در اجرا در جدول  $4$  ارائه شده است. مقایسه‌ی جدول‌های  $3$  و  $4$  گویای آن است که با درنظر گرفتن دو تابع هدف (کمینه‌سازی هزینه و بینهایه‌سازی دوغ هدف)، علاوه بر دست یابی به گزینه‌های مختلف طراحی، کف‌بندهای با هزینه‌ی کمتر و پایداری بیشتر به دست خواهد آمد.

جدول ۲. اطلاعات موردنیاز جهت واسنجی مدل.

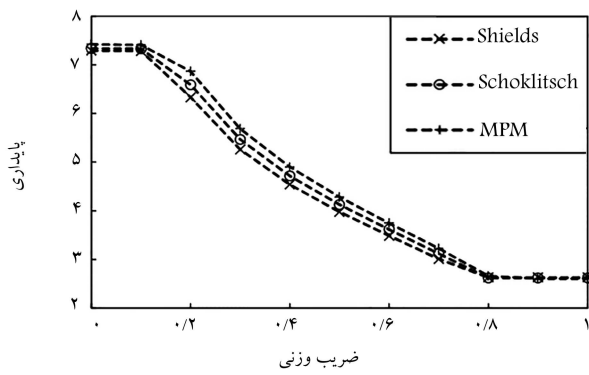
اطلاعات ژئوتکنیکی رودخانه‌ی دوغ			
$L_p(km)$	۸۶۶	$n_g$	$0/3$
$W_c(m)$	۷۰	$\gamma_{sat}(kg/m^3)$	۲۱۳۳
$S_0$	$0/0117$	$\gamma_{satg}(kg/m^3)$	۲۱۵۵
$Q_{100}(m^3/s)$	۶۱۳	$\gamma_s(kg/m^3)$	۲۶۵۰
$D_{50}(mm)$	۱۸	$\gamma_w(kg/m^3)$	۱۰۰۰
$D_{84}(mm)$	۳۸	$\gamma_{sub}(kg/m^3)$	۱۱۳۳
$D_{16}(mm)$	۹	$\phi$	۴۰
$n$	$0/195$	$n_s$	$0/035$

جدول ۳. نتایج حاصل از واسنجی مدل.

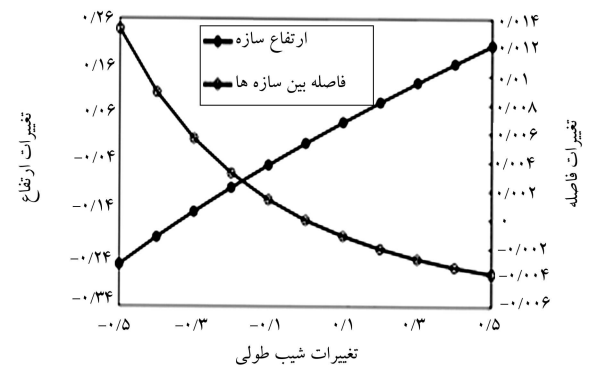
$Cost(unit)$	$Stability$	$L(m)$	$W_b(m)$	$h_b(m)$	$y_s(m)$	$y_d(m)$	$w_\alpha$
۸۹۷۲,۹۹۱	۷,۲۹۰	۵۹,۱۲۶	۲۱	۴,۹۱۲	۲,۸۶۸	۰,۶۷	۰
۸۶۸۳,۲۷۱	۷,۲۸۳	۵۶,۹۶۹	۲۰,۷۳۸	۴,۸۱۴	۲,۷۹۳	۰,۶۴۵	۰,۱
۶۸۱۰,۴۹۲	۶,۳۳۱	۵۲,۹۵۰	۱۶,۷۱۹	۴,۶۵۸	۲,۶۷۳	۰,۶۰۰	۰,۲
۴۹۷۷,۵۲۴	۵,۲۵۹	۴۸,۷۸۹	۱۲,۵۵۸	۴,۴۹۱	۲,۵۴۵	۰,۵۵۲	۰,۳
۳۹۲۷,۰۴۵	۴,۵۳۹	۴۶,۲۸۰	۱۰,۰۴۹	۴,۳۸۸	۲,۴۶۵	۰,۵۲۴	۰,۴
۳۲۱۸,۳۲۶	۳,۹۷۷	۴۴,۵۲۸	۸,۲۹۷	۴,۳۱۵	۲,۴۰۹	۰,۵۰۴	۰,۵
۲۶۸۱,۱۱۰	۳,۴۸۶	۴۳,۱۸۴	۶,۹۲۳	۴,۲۵۷	۲,۳۶۴	۰,۴۸۹	۰,۶
۲۲۳۰,۶۷۳	۳,۰۰۹	۴۱,۹۹۳	۵,۷۶۲	۴,۲۰۶	۲,۳۲۶	۰,۴۷۶	۰,۷
۱۹۱۷,۹۷۹	۲,۶۳۱	۴۱,۱۶۶	۴,۹۳۵	۴,۱۷۱	۲,۲۹۸	۰,۴۶۶	۰,۸
۱۹۱۷,۹۷۹	۲,۶۳۱	۴۱,۱۶۶	۴,۹۳۵	۴,۱۷۱	۲,۲۹۸	۰,۴۶۶	۰,۹
۱۹۱۷,۹۷۹	۲,۶۳۱	۴۱,۱۶۶	۴,۹۳۵	۴,۱۷۱	۲,۲۹۸	۰,۴۶۶	۱



شکل ۷. اثر شیب تعادلی در هزینه‌ی احداث کف‌بند.



شکل ۸. اثر شیب تعادلی در پایداری کف‌بند.



شکل ۹. تغییر فاصله و ارتفاع کف‌بند با تغییر شیب طولی.

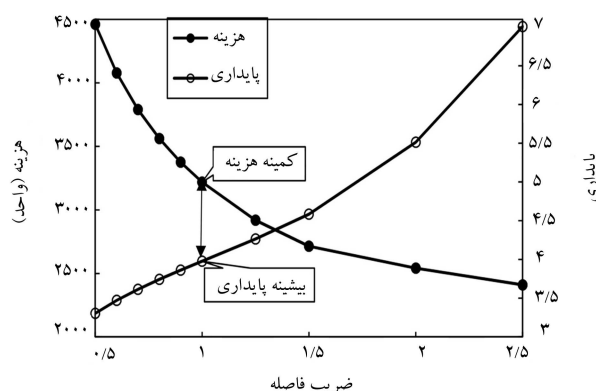
سازه‌های با ارتفاع کمتر نیاز است؛ بنابراین احداث سازه با کاهش هزینه و افزایش پایداری همراه خواهد بود.

### ۳.۳. حساسیت سنجی مدل

هدف از بخش کنونی را می‌توان تأثیر متغیرهای مستقل در برآورد هزینه‌ی احداث و پایداری سازه عنوان کرد. حساسیت سنجی با تغییر شیب طولی و دبی تا ۵۰٪ و در ضریب وزنی ۵/۰ انجام شده است.

#### ۱.۳.۳. شیب طولی

تغییر فاصله بین کف‌بندها و ارتفاع آنها با تغییر شیب طولی و به ازاء شیب تعادلی ثابت در شکل ۹ نشان داده شده است. مطابق نتایج مدل، افزایش شیب باعث افزایش حجم رسوبات فرسایش یافته برای رسیدن به شیب تعادلی می‌شود. از این



شکل ۶. اثر فاصله بین کف‌بندها در پایداری و هزینه احداث آنها.

جدول ۴. ابعاد کف‌بند در اجرا و نتایج طراحی سازه در اجرا.

$W_b(m)$	$y_d(m)$	$y_i(m)$	$L(m)$
۸	۲	۵,۵۶	۱۷۳
$Stability = ۲,۶۵, Cost(unit) = ۶۳۰$			

جدول ۵. تغییرات ابعاد بهینه‌ی سازه با تغییرات ضریب  $m$ .

$m$	$y_d(m)$	$W_b(m)$	$L(m)$
۰,۵	۱,۰۰۳	۸,۰۷۵	۸۸,۶۱۱
۰,۶	۰,۸۳۷	۸,۰۹۸	۷۳,۸۸۲
۰,۷	۰,۷۱۸	۸,۱۳۳	۶۳,۳۷۶
۰,۸	۰,۶۲۹	۸,۱۷۶	۵۵,۵۰۹
۰,۹	۰,۵۵۹	۸,۲۳۰	۴۹,۴۰۱
۱	۰,۵۰۴	۸,۲۹۷	۴۴,۵۲۸
۱,۲۵	۰,۴۰۶	۸,۵۳۴	۳۵,۸۱۲
۱,۵	۰,۳۴۱	۸,۹۰۳	۳۰,۰۸۹
۲	۰,۲۶۴	۱۰,۴۰۲	۲۳,۳۱۷
۲,۵	۰,۲۲۲	۱۲,۷۶۸	۱۹,۶۰۰

در فاصله‌ی کمتر از فاصله‌ی ذکر شده، شرایط تعادلی یادشده ایجاد نمی‌شود و سازه قبل از رسیدن به بیشینه‌ی عمق آب شستگی موضعی در پایین دست واژگون می‌شود. بنابراین با کاهش فاصله بین سازه‌ها، در واقع پایداری کوتاه‌مدت برای سازه ایجاد می‌شود و سازه در درازمدت در برابر لغزش و واژگونی، اینم نیست.

#### ۲.۲.۳. بررسی اثر شیب تعادلی بستر رودخانه در پایداری و هزینه‌ی احداث کف‌بندها

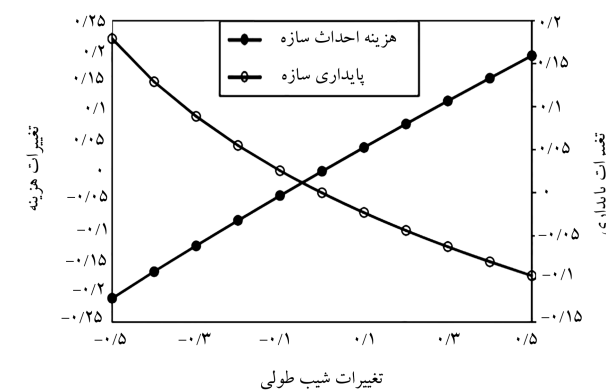
شیب تعادلی بستر رودخانه با استفاده از ۳ رابطه‌ی Shields Meyer-peter, Muller, Schoklitsch [۱۷] به ترتیب ۴,۰,۰۰۰۴, ۰,۰۰۰۶, ۰,۰۰۰۸ به دست آمد. نتایج هزینه‌ی احداث و پایداری سازه با اعمال ضریب وزنی ۰ تا ۱ در شکل‌های ۷ و ۸ نشان داده شده است. مطابق پیش‌بینی مدل، کاهش هزینه‌ی احداث سازه و افزایش پایداری آن با افزایش شیب تعادلی و با استفاده از رابطه‌ی Meyer-peter, Muller, Meyer-peter, Muller امکان‌پذیر است. نتایج فوق مبنی آن است که در رودخانه‌های نزدیک به شرایط پایدار (شرایط بدون فرسایش و رسوب‌گذاری)، عمق فرسایش برای رسیدن به شیب تعادلی به سبب اختلاف ناچیز شیب یادشده با شیب متوسط بستر کاهش می‌یابد

در حالت کلی نتایج این قسمت حاکی از آن است که از بین دو متغیر مستقل دبی و شیب طولی، دبی به دلیل تأثیرگذاری در دیگر پارامترهای طراحی، از قبیل انرژی مخصوص و شیب تعادلی، بیشترین اثر را در پایداری و هزینه‌ی کف‌بند دارد. همچنین ارتقای کف‌بند نسبت به فاصله‌ی بین کف‌بندها به نسبت بیشتری به دبی وابسته است.

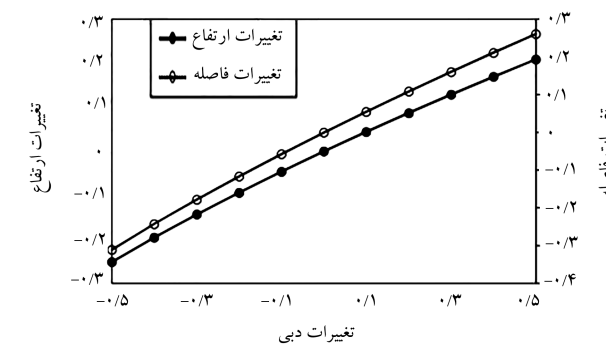
#### ۴. نتیجه‌گیری

در پژوهش حاضر، مدل بهینه‌سازی یکی از سازه‌های کنترل شیب (کف‌بند) مطالعه شد. در این راستا، دوزیرمدل هیدرولیکی و سازه‌ی مطرح شد. در زیرمدل هیدرولیکی، ابعاد کف‌بند، شامل: تعداد، ارتقای و فاصله به دست آمد. همچنین به‌منظور پایداری سازه در برابر آب‌شستگی، انواع آب‌شستگی‌های محتمل در پنجه بررسی شد (در پژوهش حاضر، آب‌شستگی‌های فوق شامل آب‌شستگی موضعی و عمومی در پنجه‌ی کف‌بند بودند) و درنهایت در زیرمدل مذکور، هزینه‌ی ساخت کف‌بند به دست آمد. از آنجایی که احداث سازه‌ای کنترل شیب (کف‌بند) در پژوهش حاضر) در بستر رودخانه سبب پایداری آبراهه می‌شود، به‌طوری که رودخانه پس از رسیدن به شیب تعادلی ایجادشده توسط سازه‌ی کنترل شیب به پایداری می‌رسد و فرایش و رسوب‌گذاری در آن رخ نمی‌دهد، لزوم طراحی سازه‌ی علاوه بر هیدرولیکی به‌منظور پایداری سازه‌ی احداث شده مشخص می‌شود. در زیرمدل سازه‌ی، کمی‌ی بارهای وارد بر کف‌بند محاسبه شد که شامل بارهای افقی و قائم بودند. پس از محاسبه‌ی بارها، تحلیل پایداری سازه در برابر لغزش و واژگونی بررسی شد و در آخر در مدل بهینه، سازه‌ی که کمترین هزینه و بیشترین پایداری را دارد، به دست آمد. مدل مذکور شامل دوتابع هدف بود که با ضرباب وزنی به یک تابع تک هدفه تبدیل شد و با اعمال قیدهای هیدرولیکی و سازه‌ی با استفاده از نرم‌افزار لینگو حل شد. مقایسه‌ی نتایج به دست آمده از مدل بهینه‌سازی، سازه‌های کنترل شیب و کف‌بندهای رودخانه دوغ نشان می‌دهد که مدل فوق قادر است ابعاد بهینه‌ی سازه را با اعمال ضرباب وزنی و با توجه به اولویت‌های اقتصادی (هزینه) و طراحی (پایداری سازه‌ی احداث شده) در اختیار طراح قرار دهد (جدول ۳).

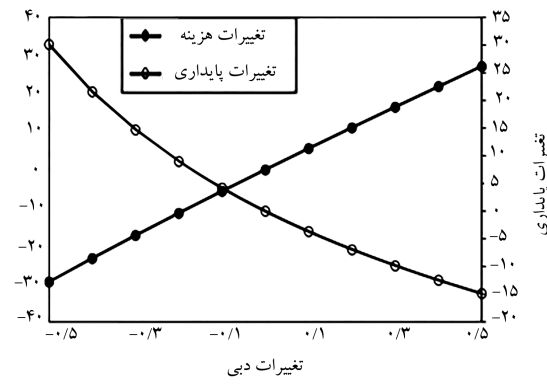
بررسی تأثیر فاصله‌ی بین کف‌بندها در هزینه و پایداری آن‌ها نشان داد که با کاهش فاصله بین کف‌بندها و ثابت ماندن دیگر پارامترهای طراحی، اگرچه پایداری افزایش و هزینه‌ی احداث کاهش می‌یابد، اما در درازمدت، سازه در برابر لغزش و واژگونی این نیست. از این رو اهمیت انتخاب فاصله‌ی بهینه بین کف‌بندها به سبب پایداری کف‌بند در برابر لغزش و واژگونی و آب‌شستگی موضعی و نیز هزینه‌ی احداث است. در پژوهش حاضر، فاصله‌ی بهینه براساس بیشینه‌ی عمق آب‌شستگی موضعی و عرض سازه که از آنالیز پایداری حاصل می‌شود، به دست آمده است. شیب تعادلی یکی از عوامل مهم در ابعاد بهینه کف‌بند است که با افزایش آن هزینه‌ی احداث کف‌بند کاهش و پایداری آن افزایش می‌یابد. همچنین نتایج تحلیل حساسیت در بخش شیب طولی می‌توانند مصدق رودخانه‌های کوهستانی باشد. در رودخانه‌های کوهستانی که به دلیل شیب بالا، احداث سازه با هزینه‌ی بیشتر و پایداری کمتر همراه خواهد بود، می‌توان با انتخاب روابطی که شیب تعادلی را بیشتر تخمین می‌زنند، نظری روابط Schoklitsch و Meyer-peter, Muller از مدل ارائه شده در پژوهش حاضر می‌توان برای پیش‌بینی ابعاد بهینه‌ی سازه‌های کنترل شیب با عملکرد کنترل کننده‌ی بستر مانند کف‌بندها بهره جست.



شکل ۱۰. تغییر هزینه و پایداری کف‌بند با تغییر شیب طولی.



شکل ۱۱. تغییر فاصله و ارتفاع کف‌بند با تغییر دبی.



شکل ۱۲. تغییر هزینه و پایداری کف‌بند با تغییر دبی.

رو ارتقای کف‌بند افزایش می‌یابد و برای برقراری شرایط پایدار در کف‌بند، فاصله‌ی بین کف‌بندها و به دنبال آن عرض کف‌بند کاهش می‌یابد. بنابراین مطابق شکل ۱۰، افزایش شیب طولی باعث کاهش پایداری کف‌بند و افزایش هزینه احداث آن می‌شود.

#### ۲.۳. دبی

نتایج اثر دبی در فاصله‌ی بین کف‌بندها و ارتقای آن‌ها در شکل ۱۱ مشاهده می‌شود. مطابق پیش‌بینی مدل، افزایش دبی با افزایش فاصله و ارتقای همراه خواهد بود. افزایش ارتقای و فاصله‌ی کف‌بندها به دلیل افزایش انرژی مخصوص و در نتیجه افزایش عمق آب‌شستگی در پایین دست کف‌بند است. از طرفی از آنجا که افزایش دبی باعث کاهش شیب تعادلی می‌شود، هزینه‌ی احداث کف‌بندها مطابق شکل ۱۲ افزایش و پایداری آن‌ها کاهش می‌یابد.

## پابنوهای

1. nickpoint
2. meander
3. bed sills
4. grade control structures
5. LINGO
6. Neil
7. tregnaghi
8. Pareto

## منابع (References)

1. Combs, P. "Siting, monitoring, and maintenance for the design of grade control structures", ASCE, Grade Control Task Committee, Reston, pp. 52 (1998).
2. Williams, T. "Predicting bed scour for toe protection design in bank stabilization projects", Flood Control District of Maricopa County phoenix, Arizona, pp. 40-53 (2003).
3. Thomas, J.T., Culler, M.E., Dermisis, D.C., Pierce, A.N. and Stewart, T.W. "Effects of grade control structures on fish passage, biological assemblages and hydraulic environments in Western Iowa streams", *Journal of River Research and Applications*, **29**(3), pp. 389-398 (2011).
4. Ostadi, F, Majdzadeh Tabatabai, M.R., and Alimohammadi, S., "Optimization modeling of groynes dimensions and its interaction on river stability", *Journal of Hydraulic*, **9**(4), pp. 57 (2014).
5. Carriaga, C.C. and Mays, L.W. "Optimization approach to stable channel design", ASCE, 26th Annual Water Resources Planning and Management Conference, Arizona, pp. 5-9 (1999).
6. Zahiri, A. and Ghorbani, K.H. "Prediction of maximum scour depth downstream of bed sills using support vector machines", *Journal of Water and Soil Conservation*, **20**(6), pp. 107-125 (2012).
7. Tregnaghi, M., Marion, A., Coleman, A. and Tait, S. "Effect of flood recession on scouring at bed sills", *Journal of Hydraulic Engineering*, **136**(4), pp. 204-213 (2010).
8. Tregnaghi, M. "Local scouring at bed sills under steady and unsteady conditions", Ph.D. Thesis, University of Padova (In English) (2008).
9. Lenzi, M.A., Marion, A. and Comiti, F. "Interfence processes on scouring at bed sills", *Journal of Earth Surface Process and Landforms*, **28**(1), pp. 99-110 (2003).
10. Gaudio, R., Marion, A. and Bovolin, V. "Morphological effects of bed sills in degrading rivers", *Journal of Hydraulic Research*, **38**(2), pp. 89-96 (2000).
11. Nabavi, M. "Effect of upward spill on scouring at the grade control structures", Ph.D. Thesis, Faculty of Water Science Engineering of Shahid Chamran University of Ahvaz (In Persian) (2010).
12. Arvandi, S. and Ghaderi, F. "Grade control and stabilization bed of rivers for the watershed restoration", 7th National Seminar on Watershed Management Sciences and Engineering, Esfahan, pp. 3-8 (2011).
13. Banihabib, M. and Piri ardakani, M. "Determination the optimal distance of check dams, Case Study: Check dams of shirkooch slopes", 6th National Seminar on Watershed Management Sciences and Engineering and Seminar on erosion and sediment, pp. 2-4 (2010).
14. Shields, F.D., Hoover, J.J., Nunnally, N.R. and Schaefer, T.E. "Hydraulic and environmental effects of channel stabilization, twentymile creek, mississippi", U.S. Army Engineer District, Alabama, pp. 3 (1990).
15. Cooper, C.M. and Knight, S.S. "Fisheries in man made pools below grade control structures and in naturally occurring scour holes of unstable streams", *Journal of Soil and Water Conservation*, **42**(5), pp. 370-373 (1987).
16. Jackson, B.J. "Stream bed stabilization in enfield creek New York", *Journal of New York Fish and Game*, **21**(1), pp. 32-46 (1974).
17. Pemberton, E.L. and Lara, J.M. "Computing degradation and local scour", Engineering and Research Center, Bureau of Reclamation, Colorado, 48 p. (1984).
18. Neill, C.R. "Guide to bridge hydraulics", Roads and Transportation Association of Canada, Thomas Telford Ltd., 80 p. (1973).
19. Mussetter, B. and et al. "Drainage design manual for Maricopa County, Arizona", NBS Lowry Engineers & Planners and McLaughlin Water Engineers, Arizona, Ltd., 628 p. (2013).
20. Das, B.M. *Principles of Foundation Engineering*, 2nd ed., PWS-KENT Publishing Company, Boston, 368 p. (1990).
21. Chamran, J., Kastov, L., Minetti, L., Stoutesdijk, J., and Tricoli, D., "Small dams and weirs in earth and gabion materials", Food and Agriculthre Organization of the United Nations, Rome, pp. 78-82 (2001).
22. Mostafavi, G.H. "Unit price list for irrigation and drainage", Management and Planning Organization of Iran, Tehran, pp. 24-31 (2015).
23. Nagafzadeh, H. and Zahiri, S.H. "Multi-objective optimization algorithm central force", *Journal of Soft Computing and Information Technology*, **2**(1), pp. 10-11 (2012).
24. Dehghani, A., Zanganeh, M., Mosaedi, A., Kouhestani, N. "Estimation of suspended sediment by the sediment rating curve and artificial neural network, Case Study: Dough river", *Journal of Agricultural Sciences and Natural Resources*, **16**(1), pp. 266-276 (2010).